



علوم و تحقیقات بذر ایران
سال هشتم / شماره سوم ۱۴۰۰ (۲۰۹ - ۲۲۴)
مقاله پژوهشی
DOI: 10.22124/jms.2021.5226



گروه‌بندی ژنوتیپ‌های لوبيا تحت تنش خشکی در مرحله جوانه‌زنی بذر و مطالعه بيان برخی از ژن‌ها در ژنوتیپ‌های حساس و متتحمل

محمد محسن‌زاده گلفزانی^۱، حبیب‌ا. سمیع‌زاده لاهیجی^{۲*}، جمال‌الی الفتی^۳، فاطمه مستشاری‌راد^۴

تاریخ پذیرش: ۱۴۰۰/۷/۲۶

تاریخ دریافت: ۱۴۰۰/۵/۲۷

چکیده

به منظور تعیین ژنوتیپ متتحمل و حساس به خشکی لوبيا در مرحله جوانه‌زنی، آزمایشی به صورت فاکتوریل دو عاملی در قالب طرح کاملاً تصادفی با سه تکرار در سال ۱۳۹۴ اجرا شد. عامل اول شامل ژنوتیپ (۲۱ ژنوتیپ)، عامل دوم تنش خشکی (با استفاده از پلی‌اتیلن‌گلیکول ۶۰۰۰ در ۲ سطح صفر و ۰/۱۴۸-۰/۱۴۸-مگاپاسکال) بودند. نتایج تجزیه واریانس برای صفات مورد بررسی (شامل طول ریشه‌چه، طول ساقه‌چه، وزن تر ریشه‌چه، وزن خشک ریشه‌چه، وزن تر ساقه‌چه، وزن خشک ساقه‌چه، سرعت رشد ساقه‌چه، سرعت رشد ریشه‌چه، نسبت طول ریشه‌چه به ساقه‌چه، اختلاف وزن خشک و تر ساقه‌چه و اختلاف وزن خشک و تر ریشه‌چه) نشان داد که اثر ژنوتیپ و همچنین اثر متقابل ژنوتیپ و خشکی، بر کلیه صفات مورد بررسی معنی‌دار بودند. بر اساس نتایج حاصل از تجزیه خوشای بروش Ward، ژنوتیپ‌های مطالعه‌شده تحت شرایط نرمال و تنش خشکی از نظر خصوصیات گیاه‌چهای در چهار گروه مختلف قرار گرفتند که ژنوتیپ‌های غلاف سیاه و پاک به ترتیب به عنوان ژنوتیپ‌های متتحمل و حساس در شرایط تنش خشکی انتخاب شدند. بررسی الگوی بیان سه ژن GR، APX و PRX و اکنش‌دهنده به تنش خشکی در دو ژنوتیپ پاک و غلاف سیاه لوبيا با استفاده از تکنیک Real time PCR مورد مطالعه قرار گرفت. پس از استخراج RNA و سنتز cDNA، تظاهر بیان سه ژن در تیمارهای صفر، ۷۲، ۱۹۲، ۱۴۴ و ۲۴۰ ساعت خشکی نشان داد که ژن‌های واکنش‌دهنده به خشکی در این پژوهش بیان بالاتری در رقم متتحمل نسبت به رقم حساس داشت و میزان بیان سه ژن APX و GR در ساعت انتهای تنش، در ژنوتیپ متتحمل به ترتیب دو، چهار و شش برابر بیشتر از ژنوتیپ حساس بود.

واژه‌های کلیدی: ارزیابی فنوتیپی، پلی‌اتیلن‌گلیکول، Real time PCR

mohsenzadeh_mohammad@yahoo.com

hsamizadeh@yahoo.com

jamalaliolfati@gmail.com

fatememostasharirad@yahoo.com

۱- استادیار گروه بیوتکنولوژی کشاورزی، دانشکده علوم کشاورزی، دانشگاه گیلان، رشت، ایران.

۲- استاد گروه بیوتکنولوژی کشاورزی، دانشکده علوم کشاورزی، دانشگاه گیلان، رشت، ایران.

۳- دانشیار گروه باغبانی، دانشکده علوم کشاورزی دانشگاه گیلان، رشت، ایران.

۴- کارشناسی ارشد رشته بیوتکنولوژی کشاورزی، دانشکده علوم کشاورزی - دانشگاه گیلان.

*نویسنده مسئول: hsamizadeh@yahoo.com

مقدمه

ژنوتیپ کلزا در پاسخ به خشکی گزارش شده است که تفاوت معنی داری در بین ژنوتیپ‌ها، سطح تنفس و اثر متقابل ژنوتیپ \times تنفس برای صفات مطالعه شده در سطح احتمال یک درصد وجود داشت، همچنین تجزیه خوش‌های داده‌های جوانه‌زنی این ژنوتیپ‌ها به روش UPGMA و UPGMA و فاصله اقلیدوسی، تیمارها را در چهار گروه مجزا قرار داد و نشان داد که ژنوتیپ SLM046 به ترتیب ژنوتیپ حساس و متتحمل می‌باشد (Mohsenzadeh *et al.*, 2016). نتیجه تجزیه خوش‌های در بررسی اثر تنفس خشکی با PEG بر ژنوتیپ‌های کلزا، نشان داد که در گروه دوم حاصل از تجزیه خوش‌های تیمارهای حاصل از سطوح مختلف تنفس ژنوتیپ در ژنوتیپ متتحمل در یک گروه قرار گرفتند. این نتایج تشابه عکس-العمل این ژنوتیپ به خشکی را نشان داده و مشخص می‌کند که عکس‌العمل ژنوتیپ متتحمل در سطوح مختلف تنفس PEG یکسان است. در این پژوهش ژنوتیپ SLM046 به عنوان ژنوتیپ متتحمل در کلزا معروفی شد. تیمارهای که در گروه چهارم قرار گرفته بودند از نظر اکثر صفات جوانه‌زنی دارای کمترین میزان بودند، که نشان-دهنده کاهش خصوصیات جوانه‌زنی این ژنوتیپ‌ها در اثر تنفس خشکی ایجاد شده با PEG بود (Mohsenzadeh *et al.*, 2016). در مطالعه بین ژنوتیپ‌های کلزا، تنوع قابل ملاحظه‌ای از نظر تحمل به تنفس خشکی بر اساس صفات و شاخص‌های مرحله جوانه‌زنی دیده شد که وجود این تنوع، می‌تواند برای بهبود تحمل به تنفس در کلزا مورد استفاده قرار گیرد (Kamkar *et al.*, 2008).

نتایج اثر تنفس خشکی بر شش ژنوتیپ کلزا و تحت سه تیمار خشکی نشان داد که با افزایش سطح خشکی در کلیه صفات جوانه‌زنی (درصد جوانه‌زنی، سرعت جوانه‌زنی، میانگین زمان جوانه‌زنی، ضریب سرعت جوانه‌زنی و نرخ یا میزان جوانه‌زنی) روند کاهشی نشان دادند، ولی این کاهش در ژنوتیپ و صفات مختلف متفاوت بود که از این تنوع در پاسخ به تنفس بین ژنوتیپ‌های مختلف می‌توان در شناسایی و تولید ارقام متتحمل استفاده کرد (Andalibi *et al.*, 2005).

گلوتاتیون ردوکتاز^۱ (GR) یک فلاوآنزیم بوده و در تمام موجودات زنده یافت می‌شود. این آنزیم سبب احیا

حبوبات پس از غلات دومین منبع غذایی بشر محسوب می‌شوند که در بین آن‌ها لوبيا زراعی از نظر میزان و سطح زیرکشت مقام نخست را در جهان دارد. لوبيا گیاهی است که سرشار از پروتئین بوده و نقش مهمی در تأمین نیاز پروتئینی بشر دارد (Ashraf and Iram, 2005; Jafari *et al.*, 2015). سطح زیر کشت لوبيا در ایران بر اساس آخرین آمار در سال ۲۰۱۹ حدود ۶۰ هزار هکتار و میزان تولید آن بیش از ۱۲۲ هزار تن می‌باشد (FAOSTAT, 2019). گیاهان زراعی در طول دوره رشد و نمو خود تحت تأثیر تنفس‌های مختلف زیستی و غیر زیستی قرار می‌گیرند. در این بین، تنفس کم‌آبی بیش از سایر تنفس‌های محیطی (شوری، سرما و گرم‌ما) رشد و عملکرد گیاهان زراعی را محدود می‌کند (Xiong *et al.*, 2006). یکی از اثرات تنفس خشکی، کاهش صفاتی مانند طول ساقه، وزن خشک اندام هوایی، سطح برگ و میزان رنگدانه‌های فتوسنتزی است (Ahmed *et al.*, 2002).

کاهش وزن خشک اندام هوایی در شرایط تنفس خشکی در لوبيا گزارش شده است (Ashraf and Iram, 2005). با توجه به این که تقریباً دو سوم از زمین‌های زیر کشت ایران در حوزه مناطق نیمه‌خشک و دیم‌خیز قرار دارند، تولید ارقام متتحمل به خشکی در کشور جایگاه خاصی دارد و یکی از مهم‌ترین برنامه‌های اصلاحی کشور می‌باشد. همچنین با توجه به کشت وسیع لوبيا در ایران، بررسی خصوصیات آن به‌ویژه شناخت مکانیسم‌های مقاومت به خشکی از اهمیت ویژه‌ای برخوردار است (Zadeh Bagheri *et al.*, 2014).

یک روش به‌گزینی تحمل به خشکی در مرحله جوانه‌زنی، بررسی واکنش ژنوتیپ‌ها در شرایط تنفس مصنوعی، در محیط دارای محلول پلی‌اتیلن‌گلایکول (PEG)، می‌باشد (Nezami *et al.*, 2010). دستیابی به ژنوتیپ‌هایی که قادر به تحمل چنین شرایطی از تنفس رطوبتی باشند، می‌تواند به میزان قابل توجهی از کاهش محصول بکاهد. در مطالعه‌ای که روی کلزا انجام شد نتایج نشان داد که تنفس خشکی سبب کاهش وزن خشک ریشه ژنوتیپ حساس و همچنین افزایش معنی دار نسبت طول ریشه به طول ساقه، وزن تر ریشه و محتوای مالوندی-آلائید در ژنوتیپ متتحمل می‌شود (Pasandideh *et al.*, 2018).

همچنین در مطالعه‌ای بهمنظور گروه‌بندی ۱۰

^۱Glutathione Reductase

آن پیوند تیولی برقرار می‌کند. برای ادامه فعالیت این چرخه لازم است فرم اکسید پراکسیروکسین دوباره به فرم احیا تبدیل شود. این عمل توسط تیوردوکسین (*TRX*) و گلوتاردوکسین (*GRX*) صورت می‌گیرد. پراکسیروکسین در اندامکهای مهمی مانند کلروپلاست، Mittler, 2002; میتوکندری و سیتوسول فعال می‌شود (Mittler, 2004). شواهد نشان می‌دهد که تعامل پیچیده میان سیستم‌های *TRX* و *GRX* در گیاهان وجود دارد (Michelet et al., 2006). عملکرد پراکسیروکسین در پاسخ به تنش در مطالعات مختلف Dietz et al., 2006; Liebthal et al., 2006; Vaseghi et al., 2018; Zarnaghi et al., 2018) گزارش شده است.

با توجه به سطح زیرکشت لوبيا در کشور و قرار گرفتن بیش از نیمی از کشور در شرایط خشک و نیمه‌خشک این پژوهش به منظور بررسی شناسایی و انتخاب ژنوتیپ‌های متحمل و حساس لوبيا به تنش خشکی در مرحله جوانه‌زنی و بررسی چگونگی تظاهر ژن‌های دخیل در تحمل به خشکی انجام گرفت که می‌تواند مقدمه‌ای برای تولید ارقام متحمل به خشکی و دستیابی به عملکرد بیشتر و پایدارتر در گیاه زراعی لوبيا باشد.

مواد و روش‌ها

ارزیابی ژنوتیپ‌های متحمل به خشکی در لوبيا با صفات مورفو‌لوزیک

این پژوهش در آزمایشگاه بیوتکنولوژی دانشکده کشاورزی دانشگاه گیلان در سال ۱۳۹۴، در قالب طرح کامل‌تصفی با آرایش فاکتوریل در سه تکرار اجرا شد. عامل اول شامل ۲۱ ژنوتیپ لوبيا (جدول ۱) و عامل دوم تنش خشکی با پلی‌اتیلن گلایکول در دو سطح (دو سطح صفر و ۰/۱۴۸ - مگاپاسکال) بودند. بذور ژنوتیپ‌های مورد مطالعه از موسسه تحقیقات اصلاح و تهیه نهال و بذر کرج و کلکسیون دانشکده کشاورزی دانشگاه گیلان تهیه شدند. نام و منشا ژنوتیپ‌های مورد مطالعه در جدول یک آورده شده است. برای ضدغوفونی کردن بذور و جلوگیری از آводگی‌های احتمالی، تعداد ۱۰ عدد از هر ژنوتیپ به‌طور کامل با آب مقطر شسته و پس از آن بهمدمت ۱۰ دقیقه در محلول ۲/۵ درصد هیپوکلریت‌سدیم قرار داده شد.

گلوتاتیون اکسید^۱ به گلوتاتیون احیا^۲ همراه با اکسیداسیون NADPH می‌شود که یکی از واکنش‌های مهم سیستم خنثی‌سازی گونه‌های فعال اکسیژن در گیاهان محسوب (GSH) می‌شود (Tsai et al., 2005). گلوتاتیون احیا (Noctor et al., 2012) برای بسیاری از عملکردهای سلولی الزامی است (Strid, 1993). پیامدی از استرس شدید افزایش می‌یابد در مطالعه‌ای که روی گیاه پنبه انجام شد، بررسی رونوشت برخی از ژن‌های آنتی‌اکسیدانت مانند *GR* در طی بهبود دوره کمبود آب^۳ افزایش یافته است که این می‌تواند نقش مهمی در حفاظت از تجهیزات سلول در مقابل فتواکسیداسیون توسط ROS بازی کند (Ratnayaka et al., 2003). نشان داده شده است که توانایی GR‌ها برای کنترل تعادل احیایی GSH/GSSG در تحمل گیاهان به تنش خشکی تعیین‌کننده است. تنش شدید باعث افزایش فعالیت GR می‌شود که افزایش این آنزیم به‌دلیل احیای مجدد گلوتاتیون اکسیدشده می‌باشد (Naderi et al., 2014).

آسکوربات پراکسیداز^۴ (APX) یکی از آنتی‌اکسیدانت‌های آنزیمی است که در کلروپلاست، سیتوسول، واکوئل و همچنین فضاهای آپوپلاستی سلول‌های برگ یافت می‌شود. آنزیم آسکوربات پراکسیداز در چرخه‌های مهرل و گلوتاتیون-آسکوربات، نقش مؤثری در جمع‌آوری پراکسید هیدروژن ایفا می‌کند (Mittler, 2002)، بنابراین، خسارت ناشی از تنش اکسیداتیو را به کم‌ترین مقدار خود می‌رساند. تغییر در بیان آنزیم آسکوربات پراکسیداز در گیاه لوبيا تحت تنش شوری دیده شده است (Jebara et al., 2005). در مطالعه دیگری نیز گزارش شده است که فعالیت آنزیم آسکوربات پراکسیداز در گیاه سویا برای مقابله با تنش خشکی افزایش نشان داد (Kausar et al., 2012).

پراکسیروکسین^۵ (PRX) توانایی واکنش مستقیم با پراکسیدهیدروژن را داشته و با تامین هیدروژن مورد نیاز، آن را به آب تبدیل می‌کند. به این ترتیب پراکسی‌ردوکسین به فرم اکسیده خود درآمده و بین دو مولکول

¹. GSSG

². GSH

³. Recovery

⁴. Ascorbate peroxidase

⁵. Peroxiredoxin

جدول ۱- اسامی ژنوتیپ‌های لوبیا مورد مطالعه در این تحقیق

Table 1. Name of bean genotypes studied in this experiment

No.	نام ژنوتیپ	Genotype	منشا	Origin
1	غلاف سیاه	Ghala siyah	ایران	Iran
2	COS 16	COS 16	کلمبیا	Colombia
3	صیاد	Sayyad	کلمبیا	Colombia
4	21682	21682	ایران	Iran
5	زودرس	Zoodras	ایران	Iran
6	دهقان	Dehghan	ایران	Iran
7	پاک	Pak	ایران	Iran
8	شکوفا	Shokufa	ایران	Iran
9	گلی	Goli	ایران	Iran
10	G-014	G-014	ایران	Iran
11	تلاش	Talash	ایران	Iran
12	191	191	ایران	Iran
13	124	124	ایران	Iran
14	21676	21676	ایران	Iran
15	غلاف قرمز	Ghalaf	ایران	Iran
16	اختر	Akhtar	ایران	Iran
17	21189	21189	ایران	Iran
18	درسا	Dorsa	ایران	Iran
19	ناز	Naz	ایران	Iran
20	169	169	ایران	Iran
21	D-81083	D-81083	کلمبیا	Colombia

با انتخاب ۳ بذر در هر تکرار آغاز و سپس به فاصله زمانی هر ۲ روز و برای ۴ مرتبه انجام شد، در پایان چهاردهمین روز و اتمام اندازه‌گیری طول ریشه‌چه و ساقه‌چه، وزن تر آن‌ها به صورت جداگانه توسط ترازو دیجیتال اندازه‌گیری شده و سپس برای محاسبه وزن خشک، هر کدام از آن‌ها جداگانه در داخل فویل پیچیده و به مدت ۴۸ ساعت در آون با درجه حرارت ۸۰ درجه سلسیوس قرار گرفتند (Mohsenzadeh Golfzani *et al.*, 2016). برای محاسبه ضریب آلومتری بر اساس داده‌های به دست آمده، Scott *et al.*, 1984 نسبت طول ریشه‌چه به ساقه‌چه محاسبه شد (

Drusch-Johnson (G) از طریق شمارش روزانه تعداد بذرهای جوانزده شده (معیار جوانه‌زنی بذرها، خروج ریشه‌چه به اندازه ۲ میلی‌متر) به تعداد کل بذرها از

در پایان این مدت، بذور ضدغونی شده سه مرتبه و هر مرتبه به مدت ۵ دقیقه با آب مقطر آب‌کشی و به پتری‌دیش ۱۲ سانتی‌متری منتقل و برای ایجاد خشکی ۰/۱۴۸- مگاپاسکال از پلی‌اتیلن گلایکول ۶۰۰۰ و برای تیمار شاهد از آب مقطر استفاده شد. پتری‌دیش‌ها برای جوانه‌زنی بذور در دمای ۲۱ درجه سلسیوس، در اتفاق کشت قرار گرفتند. برای کاهش آلودگی در فواصل زمانی هر دو روز یک بار کاغذ و اتمن جدید در داخل پتری-دیش‌ها قرار گرفته و دوباره با محلول پلی‌اتیلن گلایکول ۶۰۰۰ و آب مقطر تیمار شدند.

به منظور تعیین درصد جوانه‌زنی در هر پتری‌دیش تعداد بذور جوانه‌زده (با ۲ میلی‌متر رشد ریشه‌چه) به صورت روزانه شمارش شد و زمان پایان جوانه‌زنی زمانی بود که پس از ۲۴ ساعت هیچ بذری جوانه نزد. طول ریشه‌چه و ساقه‌چه (توسط کولیس دیجیتال) در روز ششم

بررسی بیان ژن‌ها با استفاده از فرایند Real Time

بر اساس نتایج حاصل از ارزیابی فنوتیپی و صفات مورد مطالعه، دو رقم پاک (حساس) و غلاف سیاه (متحمل) انتخاب شدند. مراحل جوانه‌زنی مطابق روش قبل انجام شد. پس از جوانه‌زنی و رشد بذرها، گیاهچه‌ها به گلدان‌های محتوی خاک منتقل شده و تحت شرایط گلخانه‌ای و دمای ۱۹ درجه سلسیوس / ۲۶ درجه سلسیوس (شب / روز) رشد داده شدند. تنش خشکی روی گیاهان ۱۷ روزه که در مرحله رشد رویشی هستند، توسط روش قطع آبیاری به مدت ده روز اعمال شد، ولی گیاهان شاهد بهترین روزانه آبیاری شدند. نمونه‌برداری از گیاهان، زمانی که سه برگ اولیه گیاه کاملاً باز شد و پس از ۷۲ ساعت (۳ روز)، ۱۴۴ ساعت (۶ روز)، ۱۹۲ ساعت (۸ روز) و ۲۴۰ ساعت (۱۰ روز) بعد از قطع آبیاری انجام شد (Silvente *et al.*, 2012)، پس از نمونه‌گیری، برگ‌ها جدا و درون فویل پیچیده شده و بلا فاصله توسط نیتروژن مایع فریز شده و سپس در دمای -۸۰ درجه سلسیوس برای انجام آزمایشات نگهداری شدند. در این راستا در آزمایش حاضر بیان ژن‌های کد کننده آنزیم‌های گلوتاتیون ردوکتاز، آسکوربات پراکسیداز و پروکسی ردوکسین مورد بررسی قرار گرفتند.

استخراج RNA با استفاده از کیت استخراج ستون دار شرکت دنا زیست و مراحل آن مطابق دستورالعمل انجام شد و بررسی کیفیت RNA با استفاده از الکتروفورز ژل آگارز یک درصدانجام شد (Pasandide *et al.*, 2017). جهت سنتز cDNA از کیت Thermo Scientific RevertAid First Strand cDNA Synthesis Kit دستورالعمل کیت یادشده عمل شد. کیت RNA تیمار شده با DNase با استفاده از اسپکتروفوتومتر (22331 Eppendorph AG) تعیین شد و مقدار موردنیاز RNA (Eppendorph AG) استخراج شده غلظت‌های متفاوتی داشتند، تمامی نمونه‌ها تا غلظت یکسانی رقیق شدند. رقیق‌سازی با توجه به نتایج اسپکتروفوتومتر و طبق رابطه (۳) صورت پذیرفت.

$$(رابطه ۳) n_1v_1 = n_2v_2$$

به منظور صحت ساخت cDNA برای همه نمونه‌ها کیفیت آن‌ها در PCR و با استفاده از آغازگرهای

رابطه (۱) محاسبه شد، که $n =$ تعداد بذر جوانه‌زده و N

تعداد کل بذر می‌باشد (Covell *et al.*, 1986).

$$(رابطه ۱) G = \frac{n}{N} \times 100$$

سرعت رشد ساقه‌چه و ریشه‌چه از رابطه (۲) محاسبه

شده در این رابطه Ai متوسط رشد ریشه‌چه و یا ساقه‌چه

و Di تعداد روزهای پس از کاشت می‌باشد.

$$(رابطه ۲) GR = \sum Ai / \sum Di$$

از تفاضل وزن خشک و تر ساقه‌چه و ریشه‌چه، اختلاف

وزن خشک و تر ساقه‌چه و ریشه‌چه برای تمامی ژنوتیپ‌ها

به دست آمد.

برای تجزیه واریانس داده‌های مورفو‌لوزیک از نرم‌افزار

SAS، نسخه ۹ و مقایسه میانگین‌ها با استفاده از آزمون

توکی در سطح احتمال ۱ درصد استفاده شد. برای

شناسایی ژنوتیپ حساس و متحمل مورد مطالعه و

گروه‌بندی ارقام مشابه از نظر کلیه صفات اندازه‌گیری شده

Mohsenzadeh از تجزیه خوش‌های استفاده شد (Mohsenzadeh *et al.*, 2020; Mohsenzadeh Golfazani *et al.*, 2016)

Golfazani *et al.*, 2020; Mohsenzadeh Golfazani *et al.*, 2016). برای انجام تجزیه خوش‌های ابتدا فاصله

بین افراد با استفاده از روش مربع فاصله اقلیدوسی

محاسبه شد و سپس برای هر کدام از سطوح تنشی،

دندروگرام با استفاده از روش‌های مختلف رسم شد. روش-

های مختلف تجزیه خوش‌های شامل ادغام بر مبنای

متوسط فاصله بین گروه‌ها (UPGMA)، ادغام بر اساس

نژدیک‌ترین همسایه‌ها (SL)، دورترین همسایه (CL) و

SPSS حداقل واریانس وارد (Ward) با استفاده از نرم‌افزار

نسخه ۱۸ انجام شد. در نهایت از مقایسه کلیه روش‌ها،

روش حداقل واریانس Ward با استفاده از نرم‌افزار SPSS

نسخه ۱۸ انتخاب شد.

برای آزمون صحت گروه‌بندی حاصل از تجزیه خوشـهـ

ای و برآورده میزان انتساب اشتباہ ارقام به گروه‌ها از تجزیهـ

تابع تشخیص استفاده شد. به این ترتیب که گروه‌های

حاصل از تجزیه خوشـهـای و ژنوتیپ‌های موجود در هر

گروه به عنوان گروه‌بندی اولیه در نظر گرفته شد و با

استفاده از تجزیه تابع تشخیص به روش خطی فیشر،

صحت گروه‌بندی اولیه مورد آزمون قرار گرفت. در نهایت

میزان صحت گروه‌بندی اولیه حاصل از تجزیه خوشـهـای بر

اساس توابع تشخیص در هر کدام از سطوح تنش، برآورده

شد. تجزیه تابع تشخیص با نرم‌افزار SPSS نسخه ۱۸

انجام شد.

چهار ژن *GR*, *APX*, *Actin* و *PRX* از بانک اطلاعاتی NCBI جمع‌آوری شد. طراحی آغازگرهای مورد استفاده توسط سایت Primer 3 Plus انجام گرفت. مشخصات آغازگر (شامل: دمای اتصال، طول پرایمر و توالی آغازگر) مورد استفاده در جدول ۲ نشان داده شده است.

اختصاصی برای ژن *Actin* کنترل شد. با مشاهده باند مورد نظر در مکان مناسب بر روی ژل مورد بررسی قرار گرفت و باندهایی با طول ۱۶۰ bp که مورد انتظار بودند، مشاهده شدند.

به‌منظور طراحی آغازگر برای واکنش Real time PCR توالی‌های موجود (cDNA)، برای

جدول ۲- توالی آغازگرهای مورد استفاده برای بررسی بیان نسبی ژن‌ها در لوبیا

Table 2. Primer pairs used for relative expression analyses of genes in response to in bean

Gene [†]	Primer sequence	Annealing temperature (°C)	Size (bp)	NCBI accession number
<i>Peroxi</i> -F	CTGCTTCAAAATCCGGTGCT	56	173	AJ288896
<i>Peroxi</i> -R	TCTTC CCTCT CTT CCCCAA			
<i>GR</i> -F	TCCAGTTACCGTTCTGTCA	52	165	DQ459504
<i>GR</i> -R	TGGACCTGATGCACCTGAAA			
<i>APX</i> -F	GGTGCTTGATGGTCCGAAG	51/8	153	KY195569
<i>APX</i> -R	CAGAAGGCCATTGAGAAGGC			
<i>Actin</i> -F	GGCACCTCTAACCCAAAAG	56	160	XM_006597212
<i>Actin</i> -R	GCTGACACCATCTCAGAGT			

[†]: *APX*, Ascorbate peroxidase; *GR*, Glutathione Reductase; *Peroxi*, Peroxiredoxin

منحنی ذوب برای ژن‌ها نشان داد که هر دو جفت آغازگرهای مورد استفاده به صورت اختصاصی عمل می‌کنند.

$$\Delta CT = CT_{\text{Target Gene}} - CT_{\text{Reference Gene}} \quad (\text{رابطه } 4)$$

$$\Delta\Delta CT = \Delta CT_{\text{Treated}} - \Delta CT_{\text{Untreated}} \quad (\text{رابطه } 5)$$

$RGEC = 2^{-\Delta\Delta CT}$ که در آن RGEC میزان تغییر نسبی بیان ژن است. نمودارها با استفاده از نرم‌افزار Excel رسم شدند. همچنین سطح معنی‌داری بیولوژیک دو برابر بیان نسبی در نظر گرفته شد (Mohsenzadeh Golfazani *et al.*, 2019; Pasandideh Arjmand *et al.*, 2017b; Vahedi *et al.*, 2019a).

نتایج و بحث

تجزیه واریانس داده‌های مورفولوژیک

بر اساس نتایج تجزیه واریانس (نتایج نشان داده نشد)، اثر خشکی بر تمام مؤلفه‌های مورد بررسی معنی دار بود. اثر مقابله ژنتیک در خشکی نیز در تمام مؤلفه‌های مورد بررسی معنی دار شد. همچنین همه مؤلفه‌های مورد بررسی تحت تأثیر ژنتیک قرار گرفتند.

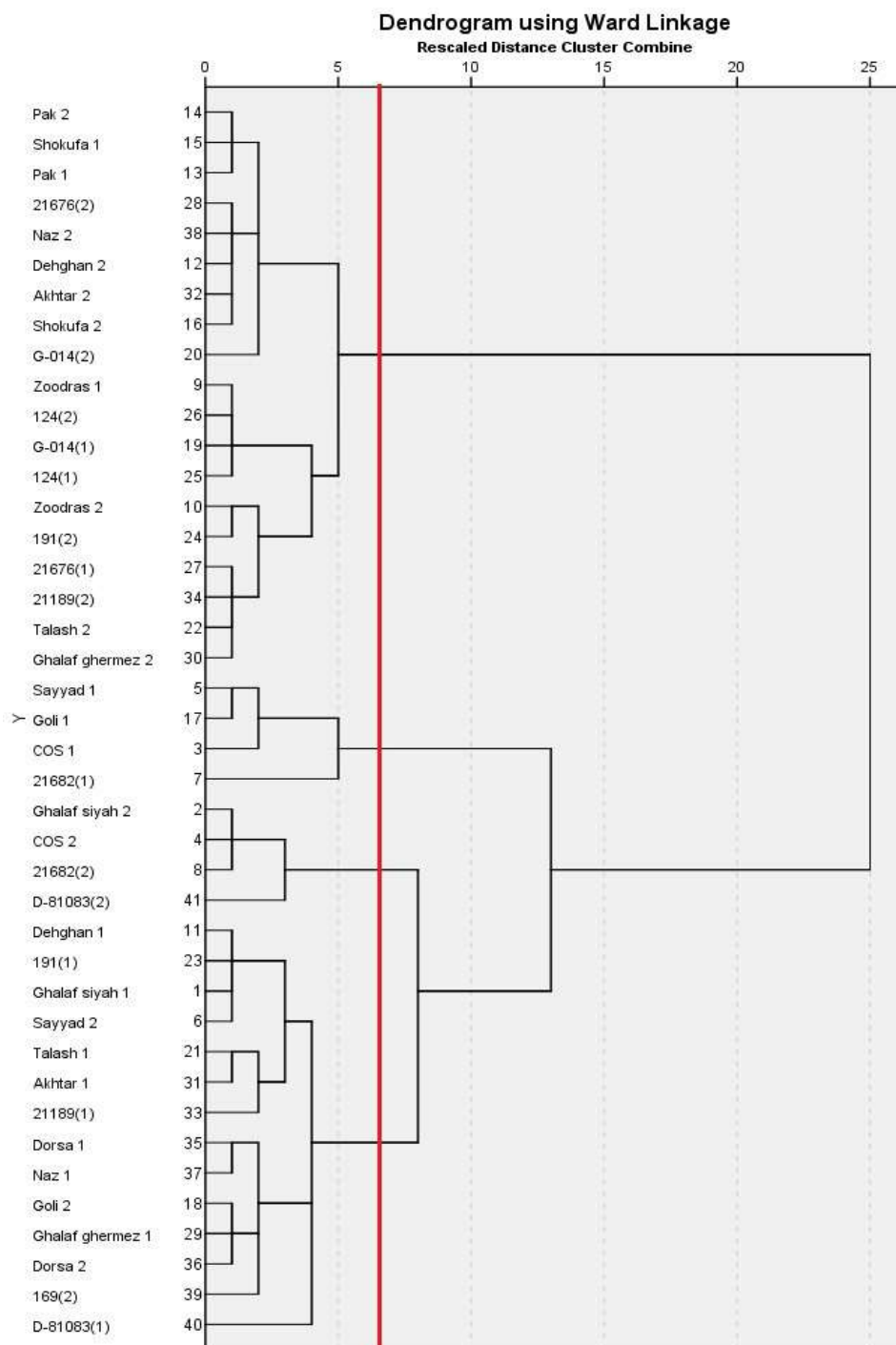
تجزیه خوشبای ژنتیک‌های مورد مطالعه بر مبنای صفات اندازه‌گیری شده

با برش دندروگرام از فاصله ۷ واحد، ۴ گروه ایجاد شد (شکل ۱). گروه اول شامل ۱۹ رقم، گروه دوم و سوم هر

پس از تأیید cDNA ساخته شده میزان بیان ژن‌های *PRX*, *APX*, *GR* و *Actin* در فرایند Real Time در رقم حساس (پاک) و متحمل (غلایق سیاه) مورد مقایسه قرار گرفت. لازم به ذکر است که سه ژنی که در این تحقیق مورد بررسی قرار گرفتند، در مسیر پاکسازی ROSها فعالیت می‌کنند. در این آزمایش از ژن *Actin* به عنوان ژن مبنای جهت نرمال‌سازی داده‌ها استفاده شد (Aliakbari and Razi, 2013; Marmagne *et al.*, 2010; Mohsenzadeh Golfazani *et al.*, 2018; Pasandideh Arjmand *et al.*, 2017a; Vahedi *et al.*, 2019b; Wang *et al.*, 2011; Yang *et al.*, 2007). با توجه به طول ژن و توالی قطعه تکثیر شده Real PCR سیکل تکثیر ژن‌های مورد نظر در فرایند Time PCR طراحی شد که در این آزمایش از مستر Real Time (Syber green Master mix) چرخه حرارتی شامل ۷ دقیقه و اسربشته‌سازی در درجه ۹۵ سلسیوس، سپس ۳۹ سیکل به صورت ۲۰ ثانیه و اسربشته‌سازی در درجه ۹۵ در ۷۲ درجه سلسیوس، ۲۰ ثانیه مرحله اتصال آغازگر در دمای TM (بسته به آغازگر بر اساس جدول ۲)، و ۳۰ ثانیه مرحله بسط در دمای ۷۲ درجه سلسیوس، سپس نگهداری در دمای ۴ درجه سلسیوس بود (Mohsenzadeh Golfazani *et al.*, 2018). جهت نرمال‌سازی داده‌ها و به منظور مقایسه بیان نسبی ژن‌های مورد نظر در فرایند Real time-PCR از روابط ۴ تا ۶ استفاده شد (Livak and Schmittgen, 2001). نتایج

ارقامی که با اندیس (۱) نشان داده شده‌اند، ارقام شاهد می‌باشند. ارقام گروه اول از نظر تمامی صفات، ارزشی پایین‌تر از میانگین کل گروه‌ها داشتند.

یک شامل ۴ رقم و گروه چهارم شامل ۱۵ رقم بودند. ارقامی که با اندیس (۲) در شکل ۱ نشان داده شده‌اند، ارقامی هستند که تحت تنفس خشکی قرار گرفته‌اند و



شکل ۱- تجزیه خوشه‌ای تیمارهای لوبیا با استفاده از معیار مربع فاصله اقلیدوسی و روش Ward (عدد ۱ بعد از اسم ژنوتیپ تیمار شاهدو عدد ۲ تیمار خشکی ۰-۱۴۸- مگاپاسکال)

Figure 1. Cluster analysis of bean genotypes based on Square Euclidean distance with ward method

مانند طول ریشه‌چه، نسبت طول ریشه‌چه به ساقه‌چه، سرعت رشد ریشه‌چه، وزن تر ریشه‌چه و وزن خشک ریشه‌چه، مقادیری بالاتر از میانگین کل را کسب کردند. علاوه بر این، با توجه به نتایج حاصل از مقایسه میانگین، رقم غلاف سیاه که در گروه سوم جای گرفته، از نظر صفات مهمی همچون طول ریشه‌چه، نسبت طول ریشه‌چه به ساقه‌چه و وزن خشک و تر ریشه‌چه، رتبه اول را در بین سایر ارقام کسب کرد. بنابراین به دلایل فوق و همچنین مشاهدات عینی، رقم غلاف سیاه به عنوان متحمل‌ترین رقم به خشکی انتخاب شد. صحت گروه‌بندی حاصل از تجزیه خوش‌های، به وسیله تجزیه تابع تشخیص مورد آزمون قرار گرفت. به این ترتیب که چهار گروه ایجاد شده در تجزیه خوش‌های به عنوان گروه‌بندی اولیه در نظر گرفته شده و با محاسبه توابع تشخیص کانونیک به روش خطی، ژنتوتیپ‌ها بین گروه‌ها جابجا شدند و در نهایت گروه‌بندی دیگری حاصل شد.

برای این که نتیجه مورد آزمون قرار گیرد، از توابع کانونی اول، دوم و سوم استفاده شد و با رسم دیاگرام، پراکنش ارقام مجدداً گروه‌بندی شدند. نتایج نشان داد که گروه‌بندی ارقام به چهار گروه متفاوت بر اساس تجزیه خوش‌های، روش حداقل واریانس وارد دقیق بوده است، به‌طوری که ارقام موجود در چهار گروه از نظر تجزیه تابع تشخیص نیز تفاوت‌های زیادی با یکدیگر نشان دادند. همچنین تجزیه تابع تشخیص کانونی نشان داد که صحت گروه‌بندی حاصل از تجزیه خوش‌های $93/42$ درصد بوده و تعدادی از ارقام به‌طور صحیحی گروه‌بندی نشده و باید به گروه‌های دیگری منتقل شوند.

بررسی بیان ژن‌های واکنش‌گر به تنش خشکی
بررسی میزان بیان *GR*, *PRX* و *APX* در روش Real time بین دو ژنتوتیپ لوپیا، نشان داد که این ژنتوتیپ‌ها از نظر مقدار بیان این سه ژن با یکدیگر تفاوت دارند.

میزان بیان نسبی ژن *GR*

نتایج حاصل از بررسی بیان ژن *GR* سیتوپلاسمی در دو ژنتوتیپ غلاف سیاه و پاک مورد مطالعه تحت شرایط بدون تنش و تنش خشکی نشان داد که بیان این ژن در ژنتوتیپ متحمل به خشکی (غلاف سیاه)، با افزایش زمان تنش خشکی، افزایش پیدا کرد، به‌طوری که ۱۹۲ ساعت (۸ روز) پس از تنش به بالاترین میزان خود رسید. میزان بیان ژن *GR* در ژنتوتیپ پاک، در زمان ۷۲ ساعت (۳ روز)

ارقام موجود در گروه دوم تنها از نظر صفات نسبت طول ریشه‌چه به ساقه‌چه ($-0/37$) و سرعت رشد ریشه‌چه ($-1/02$)، ارزشی پایین‌تر از میانگین کل گروه‌ها داشتند اما در رابطه با سایر صفات، در سطحی بالاتر از میانگین کل قرار گرفتند. ارقام موجود در گروه سوم از لحاظ صفات طول ریشه‌چه ($47/43$)، وزن تر ریشه‌چه ($0/26$)، وزن خشک ریشه‌چه ($0/026$)، نسبت طول ریشه‌چه به ساقه‌چه ($1/02$) و سرعت رشد ریشه‌چه ($9/4$) در سطحی بالاتر از میانگین کل قرار گرفتند، اما از نظر صفات طول ساقه‌چه ($10/73$)، وزن تر ساقه‌چه ($-0/68$)، وزن خشک ساقه‌چه ($-0/4$)، سرعت رشد ساقه‌چه ($-6/33$)، اختلاف وزن تر و خشک ساقه‌چه ($-0/05$) و اختلاف وزن تر و خشک ریشه‌چه ($-0/08$)، در سطحی پایین‌تر از میانگین کل قرار گرفتند. ارقام گروه چهارم تنها در صفت نسبت طول ریشه‌چه به ساقه‌چه ($-0/08$)، در سطحی پایین‌تر از میانگین کل قرار گرفتند، اما در رابطه با سایر صفات مقادیری بالاتر از میانگین کل داشتند. با توجه به نتایج حاصل از تجزیه خوش‌های، در گروه یک ارقامی قرار دارند که در تمامی صفات در سطحی پایین‌تر از میانگین کل قرار دارند و با توجه به نتایج حاصل از مقایسه میانگین، مشاهده می‌شود که در بین ارقام این گروه، رقم پاک از نظر صفات مهمی همچون طول ریشه‌چه، نسبت طول ریشه‌چه به ساقه‌چه و سرعت رشد ریشه‌چه، در پایین‌ترین مقدار نسبت به میانگین این صفات در شرایط تنش، قرار دارد. بنابراین با توجه به نتایج فوق و همچنین مشاهدات عینی، رقم پاک به عنوان حساس‌ترین رقم به تنش خشکی انتخاب شد.

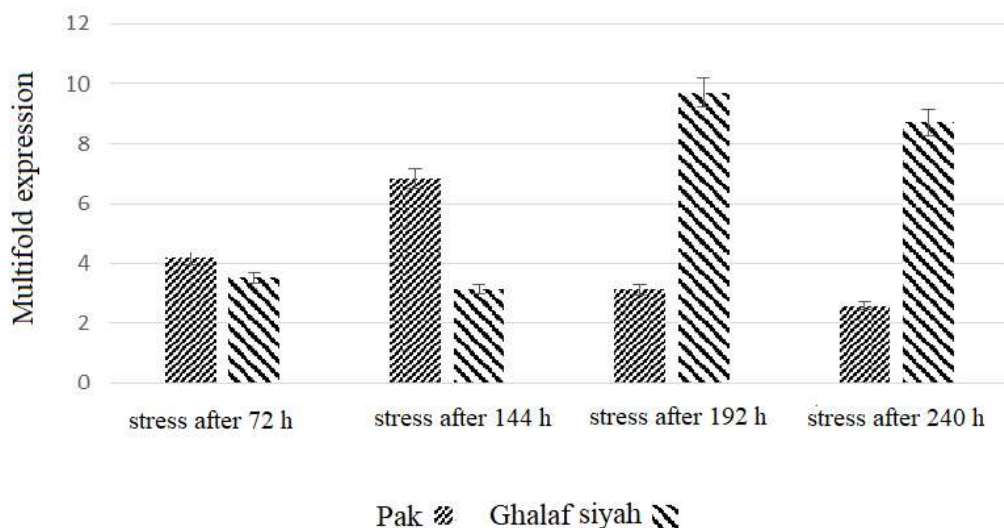
گیاهانی که طول ریشه اصلی و تعداد ریشه‌های جانبی کم‌تری داشته باشند، مقاومت و تحمل کم‌تری نسبت به تنش خشکی دارند (Sani *et al.*, 2014). در اثر تنش خشکی، طول ریشه‌چه و ساقه‌چه، کاهش یافته، ولی نسبت طول ریشه‌چه به ساقه‌چه افزایش می‌یابد، زیرا در مراحل اولیه تنش خشکی به دلیل حساسیت کم‌تر ریشه‌چه به تنش خشکی، سرعت رشد آن جهت افزایش جذب آب بیش‌تر می‌باشد. بنابراین کاهش این نسبت می‌تواند معیاری بر حساس‌بودن گیاه در برابر تنش خشکی باشد (Rahimi and Kafi, 2009).

با توجه به نتایج حاصل از تجزیه خوش‌های، در گروه سوم ارقامی قرار گرفته‌اند که در اکثر صفات مهم خود

اثرات تنش اکسیداتیو ناشی از حضور ROS‌ها بر سلول می‌کاهد، لذا افزایش بیان ژن مربوط به این آنزیم می‌تواند سبب تعدیل اثرات تنش خشکی بر گیاهان گردد. افزایش بیان ژن *GR* حین تنش خشکی در ژنوتیپ‌های حساس لوپیا چشم بلبلی (Torres-*et al.*, 2008)، گیاه ارزن مرواریدی (Franklin-*et al.*, 2015)، گیاه تاریخت گندم (Naderi-*et al.*, 2015) و گیاه تاریخت (Zarnaghi and Valizadeh, 2014) توتوون (Aono-*et al.*, 1993) قلاً گزارش شده است.

پس از اعمال تنش، تقریباً شبیه غلاف سیاه بود، اما در ۱۴۴ ساعت (۶ روز) پس از تنش به بیشترین مقدار خود رسید و پس از آن در روزهای هشتم و دهم میزان بیان کاهش پیدا کرد (شکل ۲).

عدم مصرف NADPH تولیدی از واکنش‌های نوری فتوستنتز به علت بسته شدن روزنه‌ها در تنش خشکی، می‌تواند منجر به تنش اکسیداتیو گردد (Naderi-*et al.*, 2014). آنزیم گلوتاتیون (Zarnaghi and Valizadeh, 2014) ردوکتاز با مصرف NADPH، گلوتاتیون اکسید را به گلوتاتیون احیا تبدیل کرده و با مصرف NADPH از



شکل ۲- الگوی بیان ژن *GR* با روش Real-time PCR تحت تنش خشکی در دو رقم لوپیا حساس (پاک) و متتحمل به خشکی (غلاف سیاه)

Figure 2. Expression pattern of *GR* gene using real-time PCR under drought stress in two susceptible (Pak) and tolerant (Ghalaf siyah) bean genotypes

رادیکال‌های آزاد شود. علت کمبودن بیان ژن گلوتاتیون ردوکتاز در ساعات ابتدایی تنش در ژنوتیپ غلاف سیاه، در واقع به این دلیل است که گیاه با کاهش بیان این ژن سعی در جلوگیری از مصرف NADPH داشته و آن را در ساعات پایانی مصرف می‌کند تا بدین روش خشکی را تحمل کند، زیرا این آنزیم با اکسیدکردن NADPH باعث احیاء گلوتاتیون می‌شود و این آنزیم یکی از آنزیمهای چرخه گلوتاتیون-آسکوربات می‌باشد که با اکسیدکردن NADPH منجر به تجزیه پراکسید هیدروژن به آب می‌شود. بنابراین بهنظر می‌رسد گیاه در ساعات ابتدایی احتیاجی به بیان ژن مذکور نداشته است (Carvalho-*et al.*, 2002) و بیان ژن گلوتاتیون ردوکتاز در

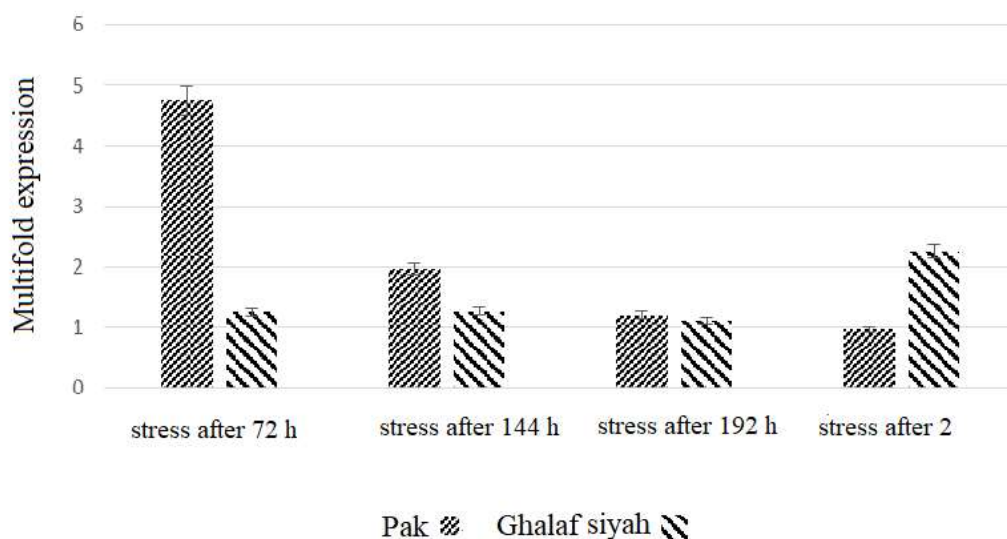
بیان ژن گلوتاتیون ردوکتاز سیتوپلاسمی در ژنوتیپ متتحمل در ۷۲ و ۱۴۴ ساعت پس از اعمال تنش کم و تقریباً مشابه بوده اما در ۱۹۲ ساعت پس از تنش، میزان بیان به حداقل مقدار خود رسید و همان‌طور که در شکل ۲ مشاهده می‌شود، میزان بیان این ژن در این زمان، معنی‌دار می‌باشد. به‌نظر می‌رسد که گیاه در روزهای پایانی وقوع تنش، میزان بیان ژن گلوتاتیون ردوکتاز را افزایش می‌دهد تا این طریق NADPH موجود در سلول را مصرف کرده و با تولید گلوتاتیون احیاء میزان گونه‌های فعل اکسیژن تولیدشده را کاهش دهد. گلوتاتیون ردوکتاز می‌تواند به‌طور شیمیایی با سوپر اکسید و رادیکال هیدروکسیل واکنش دهد و باعث از بین‌رفتن

تنش خشکی نشان داد که بیان این ژن در ژنوتیپ متحمل به خشکی (غلاف سیاه)، در ساعت ۱۴۴، ۷۲ و ۱۹۲ ساعت پس از اعمال تنش، تقریباً مشابه بود، اما در ۲۴۰ ساعت پس از اعمال تنش (روز دهم) حداکثر میزان بیان خود را داشته است (شکل ۳). میزان بیان ژن *PRX* در ژنوتیپ پاک، در زمان‌های ۷۲ و ۱۴۴ ساعت پس از اعمال تنش تقریباً مشابه و در ساعت ۱۹۲ و ۲۴۰ ساعت پس از تنش کاهش نشان داد، به طوری که در ۲۴۰ ساعت پس از اعمال تنش، در کمترین میزان خود بود.

رقم حساس، ۷۲ و ۱۴۴ ساعت پس از اعمال تنش، افزایش و بر اساس نتایج شکل ۲ این افزایش معنی‌دار می‌باشد. نقش آنزیم گلوتاتیون ردوکتاز در گیاهان ترازیخته نیز، برای افزایش مقاومت به تنش ثابت شده است و کاهش فعالیت این آنزیم حساسیت گیاه را به تنش اکسیداتیو به دنبال داشته است (Allen, 1995).

میزان بیان نسبی ژن *PRX*

نتایج حاصل از بررسی بیان ژن *PRX* سیتوپلاسمی در دو ژنوتیپ غلاف سیاه و پاک تحت شرایط بدون تنش و



شکل ۳- الگوی بیان ژن *PRX* با روش Real-time PCR تحت تنش خشکی در دو رقم لوبيا حساس (پاک) و متحمل به خشکی (غلاف سیاه)

Figure 3. Expression pattern of *PRX*gene using real-time PCR under drought stress in two susceptible (Pak) and tolerant (Ghalaf siyah) bean genotypes

پس از اعمال تنش در حداکثر میزان خود قرار دارد و طبق شکل ۳، این افزایش بیان معنی‌دار می‌باشد که دلیلی بر مقابله گیاه با پراکسید هیدروژن تولیدی می‌باشد.

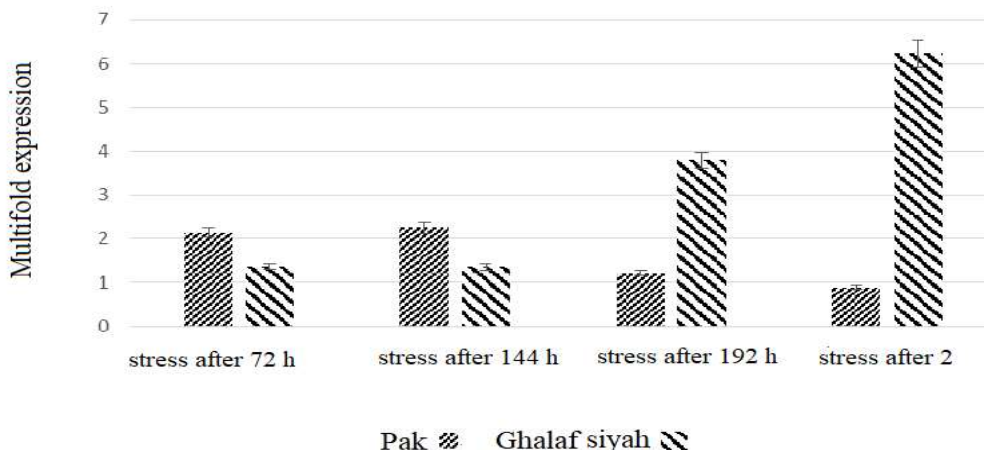
میزان بیان نسبی ژن *APX*

نتایج حاصل از بررسی بیان ژن *APX* در دو ژنوتیپ متحمل و حساس به خشکی در پژوهش حاضر نشان داد که در رقم متحمل (غلاف سیاه)، ۷۲ و ۱۴۴ ساعت پس از اعمال تنش، بیان مشابه و تقریباً در یک سطح بوده است اما ۱۹۲ ساعت پس از اعمال تنش، میزان بیان رو به افزایش گذاشته، به طوری که ۲۴۰ ساعت پس از اعمال تنش به بیشترین میزان خود رسید (شکل ۴). در ژنوتیپ حساس (پاک)، ۷۲ و ۱۴۴ ساعت پس از اعمال تنش، بیان

پروکسی‌ردوکسین آنزیمی است که توانایی واکنش با پراکسید هیدروژن را داشته و آن را به آب تبدیل می‌کند که در نتیجه این واکنش، پروکسی‌ردوکسین به فرم اکسید خود تبدیل گشته و بین دو مولکول آن پیوند دی سولفیدی برقرار می‌شود. همان‌طور که مشاهده می‌شود بیان ژن پروکسی‌ردوکسین در ژنوتیپ غلاف سیاه ۱۴۴ و ۱۹۲ ساعت پس از اعمال تنش، روند یکنواختی را طی می‌کند، اما ۲۴۰ ساعت پس از اعمال تنش، میزان آن دو برابر می‌شود. به نظر می‌رسد که در ژنوتیپ غلاف سیاه از طریق افزایش بیان ژن پروکسی‌ردوکسین سعی در مقابله با افزایش میزان این گونه فعال اکسیژن (H_2O_2) شده است. در ژنوتیپ حساس، میزان بیان این ژن ۷۲ ساعت

رقم حساس کاهاش یافته، به طوری که در روز دهم به کمترین مقدار خود رسید.

این ژن مشابه و در سطح بالایی قرار داشته، اما ۱۹۲ و ۲۴۰ ساعت پس از اعمال تنش میزان بیان ژن *APX* در

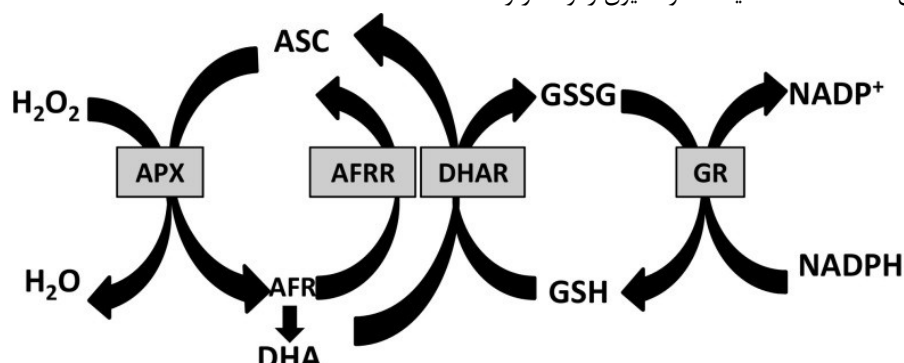


شکل ۴- الگوی بیان ژن *APX* با روش Real-time PCR تحت تنش خشکی در دو رقم لوبيا حساس (پاک) و متتحمل به خشکی (غلاف سیاه)

Figure 4. Expression pattern of *APX* gene using real-time PCR under drought stress in two susceptible (Pak) and tolerant (Ghalaf siyah) bean genotypes

آسکوربات پراکسیداز در طول تنش خشکی در گیاهچه‌های گندم، یونجه و برنج افزایش می‌یابد (Sharma and Dubey, 2005). اندازه‌گیری فعالیت آنزیم‌های آسکوربات پراکسیداز و گلوتاتیون ردوکتاز در دوره‌های زمانی مختلف در برگ‌های لوبيا که تحت تنش ملایم اسمزی ناشی از PEG قرار داشتند، نشان داد که افزایش معنی‌داری در فعالیت هر دو آنزیم دیده می‌شود (Jiang and Zhang, 2002).

چرخه آسکوربات گلوتاتیون تقریباً در تمام اجزای سلول‌های گیاهی یافت شده، علاوه بر این میل ترکیبی بالای آسکوربات پراکسیداز برای پراکسید هیدروژن، ROS نشانگر نقش بسیار مهم آن در کنترل سطح *APX* می‌باشد (شکل ۵). آنتی‌اکسیدانت‌هایی مانند *APX* و گلوتاتیون که در غلظت‌های بالا در کلروپلاست‌ها و دیگر اجزای سلولی یافت می‌شوند، در مکانیزم‌های دفاعی گیاهان طی تنش‌های اکسیداتیو بسیار مهم هستند. بررسی‌ها نشان داده‌اند که فعالیت گلوتاتیون ردوکتاز و



شکل ۵- چرخه گلوتاتیون-آسکوربات

Figure 5.Glutathione-Ascorbate cycle (Gaafar and Seyam, 2018)

همان‌طور که در شکل ۴ مشاهده می‌شود در رقم ۲۴۰ ساعت پس از تنش، میزان بیان ژن *APX* تا حد زیادی افزایش یافته است و طبق شکل ۴ این افزایش معنی‌دار می‌باشد که دلالت بر مقابله گیاه با تنش خشکی از طریق تبدیل

همان‌طور که در شکل ۴ مشاهده می‌شود در رقم ۱۹۲ و ۷۲ ساعت پس از تنش، تا حد زیادی مشابه است اما ۲۴۰ ساعت پس از تنش، میزان بیان ژن آسکوربات پراکسیداز

تجزیه خوشای، به وسیله تجزیه تابع تشخیص با ۹۳/۴۲ درصد تائید شد. با توجه به نقش و اهمیت ژن‌های *PRX* و *GR* در تنظیم میزان ROS حاصل از متابولیسم طبیعی گیاه و تنفس، همکاری ژن‌های مذکور در مدیریت تنفس اکسیداتیو اهمیت به سزایی دارد. تجمع ROS در طی تنفس خشکی نقاط کلیدی متابولیسم و مکانیسم‌های دفاعی سلول را مورد حمله قرار می‌دهند و متعاقب آن تنفس اکسیداتیو در سلول شدت بیشتری می‌یابد، ژنوتیپ غلاف سیاه، بر خلاف ژنوتیپ پاک در ساعت پایانی تنفس می‌تواند با افزایش بیان ژن *GR* و *APX*، نسبت NADP⁺ به NADPH را کاهش و نسبت GSH به GSSG را افزایش داده و از تنفس خشکی جلوگیری کند. در ژنوتیپ پاک برخلاف غلاف سیاه با توجه به کاهش بیان ژن‌های *GR* و *APX* در روزهای انتهایی تنفس مقدار NADPH افزایش می‌یابد که این امر می‌تواند تنفس اکسیداتیو را به دنبال داشته باشد. پروکسی‌ردوکسین نیز یکی از آنزیمهای است که توانایی حذف پراکسیدهیدروژن را دارد، همان‌طور که دیده شد روند افزایش بیان ژن *PRX* در ژنوتیپ غلاف سیاه در ۲۴۰ ساعت پس از تنفس می‌تواند نشان‌دهنده کاهش H₂O₂ در مقابله با تنفس خشکی باشد و تحمل ژنوتیپ غلاف سیاه به شرایط تنفس خشکی را بالا ببرد، اما افزایش بیان ژن *PRX* در ژنوتیپ حساس در ۷۲ ساعت و سپس کاهش نشان‌دهنده عدم توانایی ژنوتیپ پاک در مقابله با تنفس می‌باشد. به طور کلی در این بررسی در ساعت ابتدایی تنفس میزان بیان هر سه ژن در ژنوتیپ متحمل پایین بود ولی در ژنوتیپ حساس افزایش بیان و سپس کاهش بیان مشاهده شد، بنابراین در ژنوتیپ پاک برخلاف غلاف سیاه این امر می‌تواند آسیب به گیاه را به دنبال داشته باشد و عدم تعادل در بین فعالیت آنزیمهای آنتی‌اکسیدانت، سبب کاهش کارایی مکانیسم‌های جمع‌آوری کننده ROS می‌شود.

تشکر و قدردانی

از مسئول آزمایشگاه بیوتکنولوژی دانشکده علوم کشاورزی دانشگاه گیلان تشکر می‌گردد.

پراکسید هیدروژن به آب دارد. در واقع ژنوتیپ متحمل در ساعات ابتدایی تنفس میزان بیان ژن *APX* پایینی داشته، اما در روزهای انتهایی که اثرات تنفس شدت می‌گیرد و میزان تولید ROS در گیاه افزایش می‌یابد، میزان بیان ژن‌هایی همچون آسکوربات پراکسیداز که در مکانیزم‌های دفاعی گیاه در برابر تنفس از آنزیمهای اصلی هستند، افزایش می‌یابد. در ژنوتیپ حساس این روند بالعکس است و گیاه در روزهای ابتدایی با افزایش بیان ژن‌های دفاع-کننده از گیاه در برابر تنفس، تمام توان دفاعی خود را به کار می‌گیرد. در بررسی نقش تنفس خشکی در دو رقم گندم (تحمل و حساس به خشکی) گزارش شد که رقم متحمل با تجزیه بیشتر پراکسید هیدروژن و مهار آن توسط آنزیمهای کاتالاز و آسکوربات پراکسیداز و عملکرد کارآمد آنزیم آسکوربات پراکسیداز در چرخه گلوتاتیون-آسکوربات، آسیب غشاء کمتر و محتواهای مالون دی‌آلدئید پایین‌تری (MDA) در مقایسه با رقم حساس دارند و درنتیجه به خشکی سازگارند (Naderi Zarnaghi and Valizadeh, 2014). تحت شرایط تنفس خشکی افزایش Zhang et al., (1999) در گندم نیز گزارش شده است (APX) افزایش حجم خزانه آنتی‌اکسیدانت‌های محلول در آب آسکوربات پراکسیداز و گلوتاتیون ردوکتاز در شرایط تنفس خشکی سبب می‌شود که سلول از پتانسیل احیا بالایی برخوردار شده و تحمل گیاه به شرایط دشوار افزایش یابد.

نتیجه‌گیری کلی

در این پژوهش تجزیه واریانس نشان داد اثر تنفس بر تمام صفات مورد بررسی در لوپیا، در سطح احتمال ۱ درصد معنی‌دار است. با توجه به نتایج تجزیه خوشای، در گروه سوم، ژنوتیپ‌هایی قرار دارند که در اکثر صفات مهم مقداری بالاتر از میانگین کل را دارا بودند و با بررسی نتایج حاصل از مقایسه میانگین و مشاهدات عینی، رقم غلاف سیاه رتبه اول را نسبت به سایر ژنوتیپ‌های برای تحمل به تنفس خشکی کسب کرد و می‌توان این ژنوتیپ را به عنوان ژنوتیپ متحمل لوپیا معرفی کرد. ژنوتیپ‌های گروه یک ژنوتیپ‌هایی هستند که در تمامی صفات در سطحی پایین‌تر از میانگین کل قرار دارند و ژنوتیپ پاک که در این گروه قرار داشت به عنوان ژنوتیپ حساس لوپیا در این پژوهش معرفی شد. صحت گروه‌بندی حاصل از

منابع

- Achary, V., Murali, M., Reddy, C.S., Pandey, P., Islam, T., Kaul,T. and Reddy, M.K. 2015. Glutathione reductase a unique enzyme: molecular cloning, expression and biochemical characterization from the stress adapted C 4 plant, *Pennisetum glaucum* (L.) R. Br. Molecular Biology Reports, 42: 947-962. (**Journal**)
- Ahmed, S., Nawata, E., Hosokawa, M., Domae, Y. and Sakuratani, T. 2002. Alterations in photosynthesis and some antioxidant enzymatic activities of mungbean subjected to waterlogging. Plant Science, 163 :117-123. (**Journal**)
- Aliakbari, M. and Razi, H. 2013. Isolation of *Brassica napus* MYC2 gene and analysis of its expression in response to water deficit stress. Molecular Biology Research Communications, 2: 63-71. (**Journal**)
- Allen, R.D. 1995. Dissection of oxidative stress tolerance using transgenic plants. Plant physiology, 107: 1049 . (**Journal**)
- Andalibi, B., Zangani, E., and Haghnazari, A. 2005. Effects of water stress on germination indices in six rapeseed cultivars (*Brassica napus* L.). Iranin Journal of Agricultural Sciences, 36: 457-463. (In Persian)(**Journal**)
- Aono, M., Kubo, A., Saji, H., Tanaka, K. and Kondo, N. 1993. Enhanced tolerance to photooxidative stress of transgenic *Nicotiana tabacum* with high chloroplastic glutathione reductase activity. Plant and Cell Physiology, 34: 129-135. (**Journal**)
- Ashraf, M. and Iram, A. 2005. Drought stress induced changes in some organic substances in nodules and other plant parts of two potential legumes differing in salt tolerance. Flora-Morphology, Distribution, Functional Ecology of Plants, 200: 535-546. (**Journal**)
- Carvalho, L.C. and Amâncio, S. 2002. Antioxidant defence system in plantlets transferred from in vitro to ex vitro: effects of increasing light intensity and CO₂ concentration. Plant Science, 162: 33-40. (**Journal**)
- Covell, S., Ellis, R.H., Roberts, E.H. and Summerfield, R.J. 1986. The influence of temperature on seed germination rate in grain legumes: I. A comparison of chickpea, lentil, soyabean and cowpea at constant temperatures. Journal of experimental botany, 37: 705-715 .(**Journal**)
- Dietz, K-J., Jacob, S., Oelze, M-L., Laxa, M., Tognetti, V., Nunes de Miranda, S.M., Baier, M. and Finkemeier, I., 2006. The function of peroxiredoxins in plant organelle redox metabolism. Journal of experimental botany, 57: 1697-170. (**Journal**)
- FAOSTAT 2019. <http://www.fao.org/faostat/en/#data/QCL> .
- Gaafar, R.M. and Seyam, M.M. 2018. Ascorbate–glutathione cycle confers salt tolerance in Egyptian lentil cultivars. Physiology and Molecular Biology of Plants, 24: 1083-1092. (**Journal**)
- Jafari, M., Moosavi, S.S., Chaichi, M., Ahmadvand, Q. and Abdollahi, M. 2015. Evaluation of variability and heritability of effective traits on yield in bean (*Phaseolus vulgaris* L.) under non-stress and moisture stress conditions before pod formation. Applied Field Crops Research, 28: 59-66. (In Persian)(**Journal**)
- Jebara, S., Jebara, M. Limam, F. and Elarbi, A.M. 2005. Changes in ascorbate peroxidase, catalase, guaiacol peroxidase and superoxide dismutase activities in common bean (*Phaseolus vulgaris*) nodules under salt stress. Journal of plant physiology, 162: 929-936. (**Journal**)
- Jiang, M. and Zhang, J. 2002. Water stress-induced abscisic acid accumulation triggers the increased generation of reactive oxygen species and up-regulates the activities of antioxidant enzymes in maize leaves. Journal of experimental botany, 53: 2401-2410. (**Journal**)
- Kamkar, B., Ghaffari, H. and Entesari, M. 2008. The Study of Temperature and Salinity Effects on germination Components of Canola Cultivars. Journal of Agricultural Sciences and Natural Resources, 15: 1-12. (In Persian)(**Journal**)
- Kausar, R., Takahiro Makino, Z.H. and Komatsu, S. 2012. Characterization of ascorbate peroxidase in soybean under flooding and drought stresses. Molecular Biology Reports, 39: 10573-10579. (**Journal**)
- Liebthal, M., Maynard, D. and Dietz, K-J. 2018. Peroxiredoxins and redox signaling in plants. Antioxidants and redox signaling, 28: 609-624 .(**Journal**)
- Livak, K.J. and Schmittgen, T.D. 2001. Analysis of relative gene expression data using real-time quantitative PCR and the 2- ΔΔCT method. Methods, 2(5): 402-408. (**Journal**)

- Marmagne, A., Brabant, P., Thiellement, H. and Alix, K. 2010. Analysis of gene expression in resynthesized *Brassica napus* allotetraploids: transcriptional changes do not explain differential protein regulation. *New phytologist*, 186: 216-227. (**Journal**)
- Michelet, L., Zaffagnini, M., Massot, V., Keryer, E., Vanacker, H., Miginiac-Maslow, M., Issakidis-Bourguet, E. and Lemaire, S.D. 2006. Thioredoxins, glutaredoxins, and glutathionylation: new crosstalks to explore. *Photosynthesis Research*, 89: 225-245. (**Journal**)
- Mittler, R. 2002. Oxidative stress, antioxidants and stress tolerance. *Trends in Plant Science*, 7: 405-410. (**Journal**)
- Mittler, R., Vanderauwera, S., Gollery, M. and Van Breusegem, F. 2004. Reactive oxygen gene network of plants. *Trends in plant science*, 9: 490-498. (**Journal**)
- Mohsenzadeh Golfazani, M., Pasandideh Arjmand, M., Hassani Kumleh, H., Samizadeh Lahiji, H., Vahedi, R. and Ramezan-zadeh Bishegah, S. 2019. The effect of iron toxicity on some of morphological traits, relative gene expression of G6PDH and peroxidase enzyme activity in resistant and susceptible genotypes of Rice (*Oryza sativa*). *Cereal Research*, 9: 207-220. (In Persian) (**Journal**)
- Mohsenzadeh Golfazani, M., Aghaeepour, S., Samiezadeh Lahiji, H. and Abdollahi, Sh. 2020. Studying expression of some genes associated with drought stress in rice (*Oryza sativa L.*). *Cereal Research*, 9: 299-314. (In Persian) (**Journal**)
- Mohsenzadeh Golfazani, M., Mohammad, F., Hasani Kumleh, S.H. and Samizadeh Lahiji, H. 2016. Grouping of some canola genotypes in various drought stress treatment in Germination Stages based on multivariate statistical methods. *Iranian Journal of Seed Sciences and Research*, 3: 53-65. (In Persian) (**Journal**)
- Mohsenzadeh Golfazani, M., Pasandideh Arjmand, M., Kordrostami, M., Samizadeh Lahiji, H., Hassani Kumle, H. and Rezadoost, M.H. 2018. The effect of iron stress on the relative expression level of *SOD*, *MDHR* and *GPX1* genes in tolerant and sensitive genotypes of Rice. *Crop Biotechnology*, 8: 1-13. (In Persian) (**Journal**)
- Naderi Zarnaghi, R. and Valizadeh, M. 2014. Investigation the activity of Glutathione Reductase and Ascorbate Peroxidase enzymes in wheat genotypes under drought tension in flowering stage. *Crop Physiology Journal*, 6: 85-97. (In Persian) (**Journal**)
- Naderi Zarnaghi, R., Valizadeh, M. and Firoozi, S. 2014. Effect of free amino acids on the yield quality and quantity of forage varieties Gole-Sefid (*Vicia panonica*) in rainfed conditions. *Iranian Dryland Agronomy Journal*, 3: 127-139. (In Persian) (**Journal**)
- Nezami, A., Khamadi, N., Khajehhosiny, M. and Bagheri, A. 2010. Evaluation of Drought Tolerance in Cold Hardy Lentils (*Lens culinaris medik.*) at Germination Stage. *Iranian Journal of Field Crops Research*, 8: 138-146. (In Persian) (**Journal**)
- Noctor, G., Mhamdi, A., Chaouch, S., Han, Y., Neukermans, J., Marquez-Garcia, B., Guillaume, Q. and Christine, H.F. 2012. Glutathione in plants: an integrated overview. *Plant, Cell and Environment*, 35: 454-484. (**Journal**)
- Pasandide Arjmand, M., Samizadeh Lahiji, H. and Mohsenzadeh Golfazani, M. 2017. The investigation of some photorespiration genes relative expression in response to drought stress in canola (*Brassica napus*). *Crop Biotechnology*, 7: 31-42. (In Persian) (**Journal**)
- Pasandideh Arjmand, M., Samizadeh Lahiji, H. and Mohsenzadeh Golfazani, M. 2017a. The investigation of some photorespiration genes relative expression in response to drought stress in canola (*Brassica napus*). *Crop Biotechnology*, 7: 31-42. (In Persian) (**Journal**)
- Pasandideh Arjmand, M., Samizadeh Lahiji, H. and Mohsenzadeh Golfazani, M. 2017b. The investigation of some photorespiration genes relative expression in response to drought stress in canola (*Brassica napus*). *Crop Biotech*, 7: 31-42. (In Persian) (**Journal**)
- Pasandideh, M., Samizadeh, H. and Mohsenzadeh, M. 2018. The effect of drought stress on some morphological and physiological characters in canola seedling (*Brassica napus*). *Iranian Journal of Seed Sciences and Research*, 5: 95-108. (In Persian) (**Journal**)
- Rahimi, Z. and Kafi, M. 2009. Effects of drought stress on germination characteristics of purslane (*Portulaca oleracea L.*). *Environmental Stresses in Crop Sciences*, 2: 87-91. (In Persian) (**Journal**)
- Ratnayaka, H.H., Molin, W.T. and Sterling, T.M. 2003. Physiological and antioxidant responses of cotton and spurred anoda under interference and mild drought. *Journal of experimental botany*, 54: 2293-2305. (**Journal**)

- Sani Rasti, M.S., Lahouti, M. and Ganjeali, A. 2014. Effect of drought stress on some morphophysiological traits and chlorophyll fluorescence of red bean seedlings (*Phaseolus vulgaris* L.). Iranian Journal of Pulses Research, 5: 103-116. (In Persian)(Journal)
- Scott, S.J., Jones, R.A. and Williams, W.A. 1984. Review of data analysis methods for seed germination 1. Crop science, 24: 1192-1199. (Journal)
- Sharma, P. and Dubey, R.S. 2005. Drought induces oxidative stress and enhances the activities of antioxidant enzymes in growing rice seedlings. Plant growth regulation, 46: 209-22. (Journal)
- Silvente, S., Sobolev A.P. and Lara, M. 2012. Metabolite adjustments in drought tolerant and sensitive soybean genotypes in response to water stress. PLoS ONE, 7: e38554. (Journal)
- Strid, Å. 1993. Alteration in expression of defence genes in *Pisum sativum* after exposure to supplementary ultraviolet-B radiation. Plant and Cell Physiology, 3: 953-949. (Journal)
- Tsai, Y-C., Hong, C-Y., Liu, L-F. and Kao, C.H. 2005. Expression of ascorbate peroxidase and glutathione reductase in roots of rice seedlings in response to NaCl and H₂O₂. Journal of plant physiology, 162: 291-299. (Journal)
- Vahedi, R., Mohsenzadeh, Golnazani, M., Pasandideh Arjmand, M. and Samizadeh Lahiji, H. 2019a. Investigation of relative expression of some genes related to iron-induced toxicity in two varieties of Rice (*Oryza sativa*). Crop Biotech, 9: 15-28. (In Persian)(Journal)
- Vahedi, R., Mohsenzadeh, Golnazani, M., Pasandideh Arjmand, M. and Samizadeh Lahiji, H. 2019b. Investigation of relative expression of some genes related to iron-induced toxicity in two varieties of Rice (*Oryza sativa*). Crop Biotechnology, 9: 15-28. 31-42. (In Persian)(Journal)
- Vaseghi, M.J., Chibani, K., Telman, W., Liebthal, M.F., Gerken, M., Schnitzer, H., Mueller, S.M. and Dietz, K.J. 2018. The chloroplast 2-cysteine peroxiredoxin functions as thioredoxin oxidase in redox regulation of chloroplast metabolism. Plant Biology, 7: 1-28. (Journal)
- Wang, N., Qian, W., Suppanz, I., Wei, L., Mao, B., Long, Y., Meng, J., Müller, A.E. and Jung, C. 2011. Flowering time variation in oilseed rape (*Brassica napus* L.) is associated with allelic variation in the FRIGIDA homologue BnaA. FRI. a. Journal of experimental botany, 62: 5641-5658 .(Journal)
- Xiong, L., Wang, R-G., Mao, G. and Koczan, J.M. 2006. Identification of drought tolerance determinants by genetic analysis of root response to drought stress and abscisic acid. Plant physiology, 142: 1065-1074 .(Journal)
- Yang, B., Srivastava, S., Deyholos, M.K. and Kav, N.N.V. 2007. Transcriptional profiling of canola (*Brassica napus* L.) responses to the fungal pathogen *Sclerotinia sclerotiorum*. Plant Science, 173: 156-171 .(Journal)
- Zadeh Bagheri, M., Javanmardi, Sh., Alozadeh, O. and Kamelmannesh, M.M. 2014. Effects of drought on grain yield and some physiological characteristics of red bean genotypes. Journal of Plant Ecophysiology, 6: 1-11. (In Persian)(Journal)
- Zhang, J., Nguyen, H.T. and Blum, A. 1999. Genetic analysis of osmotic adjustment in crop plants. Journal of experimental botany, 50: 291-302. (Journal)



Grouping of some bean genotypes in various drought stress treatment in Germination Stages and the expression investigating of some genes in resistant and susceptible

Mohammad Mohsenzadeh Golfazani¹, Habibollah Samizadeh^{2*}, Jamalali Olfati³, Fateme Mostashari-rad⁴

Received: August 18, 2021

Accepted: October 18, 2021

Abstract

In order to study the effects of drought stress induced by polyethylene glycol 6000 on germination components of 21 bean genotypes, a randomized complete design with factorial arrangement of one drought level (-0.148 MPa) and control level (0), in 3 replication and with the purpose of determining the resistance and susceptible genotype, was conducted. Results of anova indicate that all genotypes in all studied components (root, shoot, fresh weight of root and shoot, dry weight of root and shoot, growth rate root and shoot, root to shoot length ratio, difference of fresh and dry weight root, difference of fresh and dry weight shoot) were affected significantly by drought stress. Genotype effect and also the interaction between genotype and drought, was significant for all studied components. According to results of cluster analysis with the ward method, all genotypes in normal and drought conditions, were placed into four different groups, the Ghalaf Siyah and Pak genotypes were chosen as resistance and susceptible genotypes in drought stress conditions. In this study the expression patterns of three drought induced-genes were investigated in two Ghalaf Siyah (resistant genotype) and Pak (sensitive genotype) using Real time PCR technique. After RNA extraction and cDNA synthesis, expression of three genes, including GR, PRX and APX were studied in the seedling stage of Ghalaf Siyah and Pak genotype under drought stress for control, 72, 144, 192 and 240 hours of the treatments. The results indicated that in Ghalaf Siyah genotype the drought induced-genes generally had higher expression than Pak cultivar. Expression of three genes PRX, GR and APX at the 240 h in the tolerant genotype, it was two, four and six more than the sensitive genotype.

Keywords: Phenotypic evaluation; polyethylene glycol 6000; Real time PCR

How to cite this article

Mohsenzadeh Golfazani, M., Samizadeh, H., Olfati, J. and Mostashari-rad, F. 2021. Grouping of some bean genotypes in various drought stress treatment in Germination Stages and the expression investigating of some genes in resistant and susceptible. Iranian Journal of Seed Science and Research, 8(3): 209-224. (In Persian)(Journal)

DOI: 10.22124/jms.2021.5226

COPYRIGHTS

Copyrights for this article are retained by the author(s) with publishing rights granted to the Iranian Journal of Seed Science and Research

The content of this article is distributed under Iranian Journal of Seed Science and Research open access policy and the terms and conditions of the Creative Commons Attribution 4.0 International (CC-BY4.0) License. For more information, please visit <http://jms.guilan.ac.ir/>

1. Assistant Professor. Department of Agricultural Biotechnology, Faculty of Agricultural Sciences, University of Guilan, Rasht, Iran. mohsenzadeh_mohammad@yahoo.com
2. Professor, Department of Agricultural Biotechnology, Faculty of Agricultural Sciences, University of Guilan, Rasht, Iran. hsamizadeh@yahoo.com
3. Associate Professor, Department of Horticultural, Faculty of Agriculture, University of Guilan, Rasht, Iran. jamalaliolfati@gmail.com
4. MS, Department of Agricultural Biotechnology, Faculty of Agricultural Sciences, University of Guilan, Rasht, Iran. fatememostasharirad@yahoo.com

*Corresponding author: hsamizadeh@yahoo.com